

دراسة كارستية لبيتوستراتغرافية بارتباط مع حركة المياه في وادي العيون - المنطقة الساحلية

ربيع يوسف وأحمد بلال ومحسن سعيد

قسم الجيولوجيا - كلية العلوم - جامعة دمشق - سورية

ملخص

تعتمد هذه الدراسة على استخدام التحريات الجيولوجية، في الحقل كما في المخبر، لتمييز المظاهر الكارستية الجوفية والسطحية. تمحورت دراستنا على منطقة وادي العيون في المنطقة الساحلية، لأن هذه المنطقة تحتوي على الكثير من المظاهر الكارستية، بهدف الربط بين المظاهر الكارستية والبيتوستراتغرافيا. من خلال المسح والدراسات الجيولوجية، تم وضع عمود لبيتوستراتغرافي نموذجي لمنطقة الدراسة بشكل تفصيلي، إضافة إلى تحديد جميع المظاهر الكارستية والعوامل المؤثرة في تشكل هذه المظاهر، وانعكاسات هذه العمليات على الطبقات الصخرية. يساعد هذا البحث على فهم الهيدروجيولوجيا العامة وتحديد نطاق الينابيع في المنطقة. كما أن هذا النموذج من العمل يضع مثل هذه الدراسات في الإطار العلمي الدقيق بشكل تفصيلي ومتكامل.

كلمات المفتاح: مظاهر كارستية، لبيتوستراتغرافيا، هيدروجيولوجيا، وادي العيون - سورية.

1- مقدمة

الكارست ظاهرة هيدروفيزياكيميائية معقدة تتظاهر جيومورفولوجية بأشكال مختلفة (Dreybrodt 1988). تلاحظ هذه الظاهرة في الصخور الرسوبية من خلال عمليات فيزيوكيميائية للمياه التي تعمل على حت، وحل للصخور (Cvijic 1893). تتأثر الصخور الكربونائية بالعمليات الكارستية والخواص الليتولوجية والستراتغرافية والبيروفيزيائية للسحنات الكربونائية، بالإضافة إلى طبوغرافية السطح، والمناخ السائد في المنطقة، وفترات طفو الطبقات الكربونائية (Dreybrodt 1988). وتشكل الدراسة الليتوستراتغرافية جوهر الدراسات الجيولوجية، وقاعدة الدراسات الكارستية، لإيضاح سلوك وتطور المظاهر الكارستية.

عرفت الدراسات الكارستية منذ القديم لارتباطها بالدراسات الهيدروجيولوجية للمياه الجوفية والتنمية (Cvijic 1893, 1901, 1918) ثم درست من النواحي الوصفية والجيومورفولوجية والرسوبية (Ford and Williams. 1989 - 2000, Bonacci 1987 Klimchouk et al 2007). مع أهمية الدراسات والعلوم الكارستية عالمياً والتطور المتزايد بكل مجالاتها ظلت غائبة، أو قل نادرة في سورية إلا غير دراسات عامة، كدراسة توبرتزيه (1958)، ودراسة (Mouty 1976). وحيناً تم الاهتمام بهذه الدراسات من قبل الجيولوجيين السوريين، خاصة دراسة بعض المناطق التي تشكل أهمية هيدروجيولوجية (يوسف 2008، طراف 2010). إذ تؤكد هذه الدراسات لتؤكد الأهمية التي تحتلها هذه الدراسات لارتباطها بالجيومورفولوجيا من جهة والهيدروجيولوجيا والهيدروولوجيا من ذات الأهمية البالغة بالنسبة لبلادنا من جهة ثانية. تتركز هذه الدراسة حول توضيح تأثير العمليات الكارستية على الصخور الكربونائية ضمن المقطع الطبقي في منطقة الدراسة، والمتركة بشكل أساسي في القسم الشرقي من الجزء الجنوبي من السلسلة الساحلية، وأهمية المظاهر الكارستية المنتشرة وأية تشكيلها، وأثر ذلك في حركية المياه السطحية من جهة، وجزئها الجوفي وخراناتها من جهة أخرى.

2- منطقة الدراسة

تتمحور هذه الدراسة على منطقة وادي العيون، التي تتموقع في الجزء الجنوبي من السلسلة الساحلية (الشكل 1-B). تم اختيار منطقة وادي العيون لتكشف الأعمار الجيولوجية ضمن هذا المقطع (المنكرة الأيضاحية لرقعة صافينا 1980)، ووضوح التكتنجات والسمكات الجيدة للطبقات الصخرية (الشكل 1-D). يضاف إلى ذلك الانتشار الكثيف للمظاهر الكارستية طبوغرافياً (Cvijic 1925)، تبدو المنطقة على شكل وادي سحيق يفصل بين جبلين شديدي الانحدار، إذ يصل الانحدار إلى (75) درجة، وفي بعض الأجزاء تكون الجدر شالولية. يبلغ فرق الارتفاع الطبوغرافي بين الوادي وقمة الجبل حوالي (550م). تعتبر المنطقة غنية جداً بالينابيع المائية الموسمية والدائمة، ويشكل الوادي نهر كارستي من الشرق إلى الغرب. بشرياً يزيد سكان المنطقة عن (10000) نسمة ضمن بيوت متناثرة ومتباعدة في القسم السفلي من السفوح الجبلية، يعمل معظم السكان في الزراعة والسياحة.

يحدّها من الغرب دوير المشايخ والديرون، ومن الشمال برمانة المشايخ، ومن الشرق السنديانة، ومن الجنوب فجليت ومشاوي. المناخ متوسطي رطب، الهائل المطري غزير يزيد المعدل العام عن (1000) مم سنة (تقرير المديرية العامة للأرصاد الجوية 2007).

E: 36 10 225

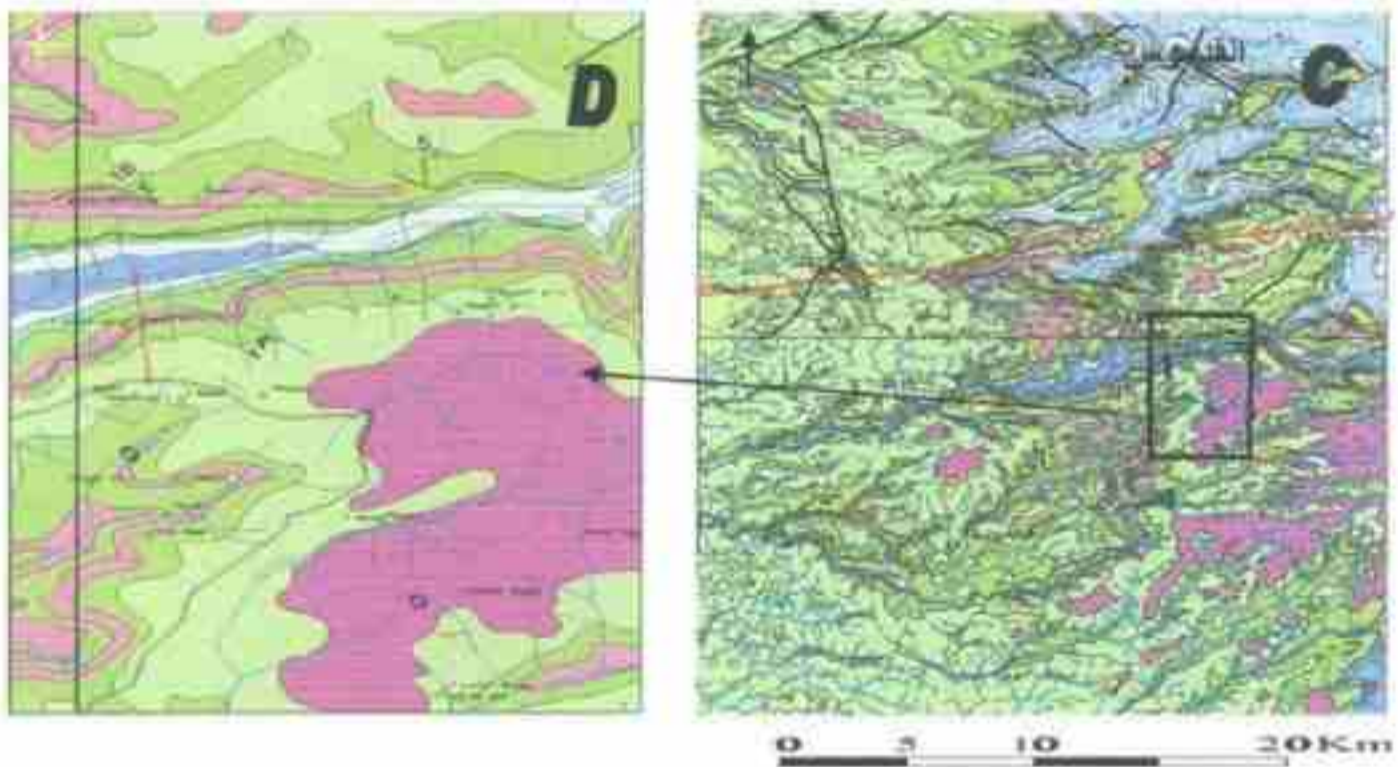
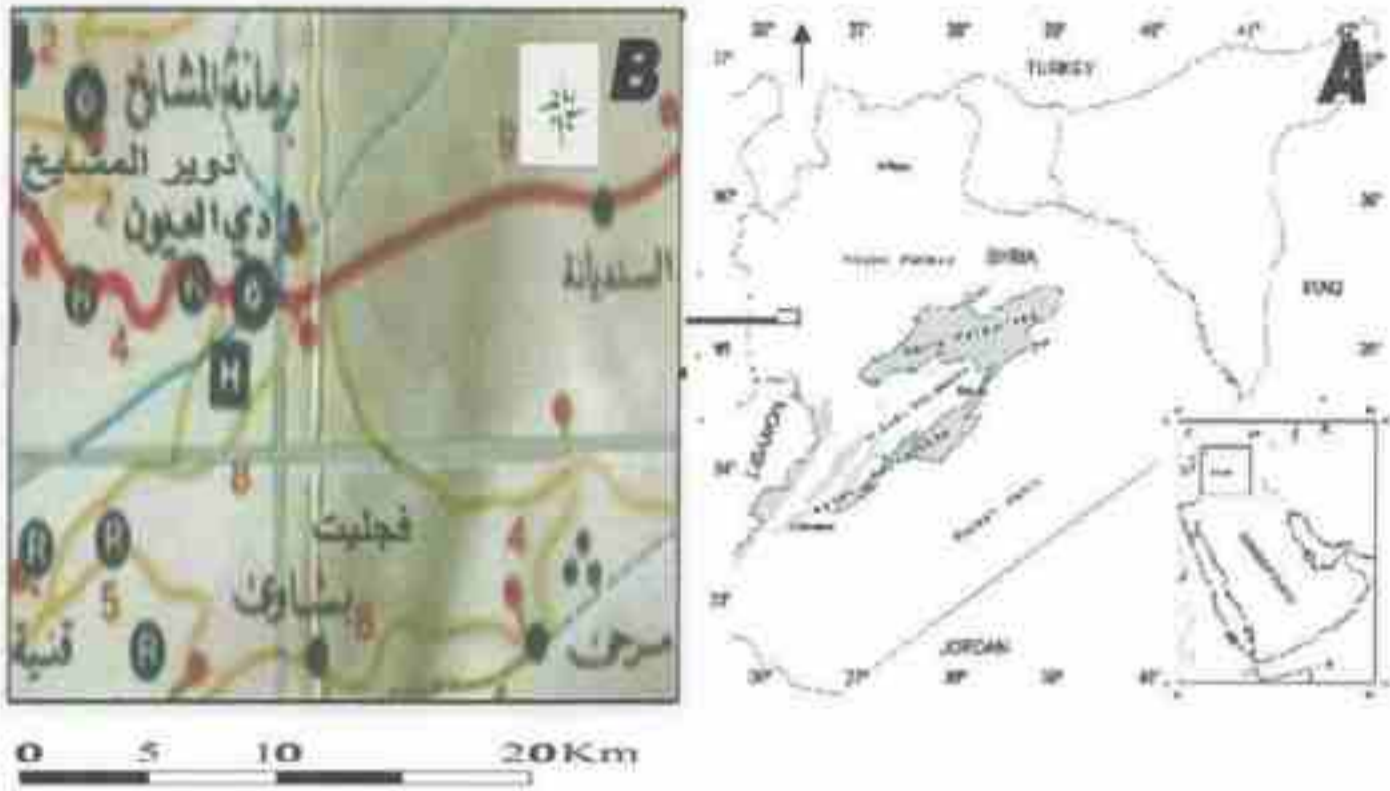
N: 34 59 409

يبدأ المقطع بالأحداثيات التالية:

E : 36 10 165

N : 34 59 053

وينتهي بالأحداثيات التالية:



الشكل (1) موقع منطقة الدراسة في سورية (A)، وحدودها الجغرافية (B)، وسوقها على الخريطة الجيولوجية لرقمى صافينا والشموس (C)، والتكتل الجيولوجية فيها (D)

تتكشف صخور الكريتاسي في معظم أجزاء منطقة الدراسة (الشكل 2- C)، مع وجود بعض الثغرات الستراتغرافية ضمن النيوكوميان والأبين والسينومانيان الأسفل. لعبت الوديان المتعمقة دوراً أساسياً في تحديد مورفولوجية المنطقة الساحلية الحالية (Ponikarov, 1963)، بينما تلعب الصخور البازلتية النيوجينية المغطية دوراً سلبياً في تحلل وكرسة الصخور الكريونانية الواقعة تحتها كصخور كتيمة.

وقد ساهمت من جهة أخرى بشكل كبير في إغناء المياه الجوفية والسطحية بالمحاليل الحمضية ذات التأثير في عمليات الكرسنة، إضافة لكونها تشكل أرضية مناسبة للعطاء النباتي وتشكل الأحماض العضوية. تظهر الطبقات الكريونانية، المتوضعة فوق طبقة كتيمة عضارية، عمليات الكرسنة بشكل واضح، لأنها تحتفظ بالمياه لفترات زمنية أطول، مما يؤدي إلى تزايد في نشاط العمليات الكارستية في النطاق المعمرور بالمياه. أما الصخور الكريونانية التي تتكشف على السطح لمدة

طويلة فتبدي مظاهر أكثر كرسنة من الصخور حديثة التكتيف، ويبدو التدرج في عمليات الكرسنة واضحا في منطقة الدراسة (Jones and MacDonald 1989)، ابتداءً من صخور الجوراسي الذي يعتبر في مرحلة الشباب، إلى صخور الألبان (النضج المبكر)، وانتهاءً بصخور السينومانيان التي تبدي مظاهر الشيخوخة للكرسنة.

3- أهمية البحث وأهدافه

تعتبر المظاهر الكارستية من العناصر الهامة في فهم جيولوجية المنطقة المدروسة، وبالتالي تأثيراتها على حركة المياه السطحية والجوفية. يهدف البحث إلى فهم الترابط بين الليتولوجيا والكارست والتكتونيك، وأثر العوامل على حركة المياه.

4- مواد البحث وطرائقه

استخدمت في تنفيذ هذا البحث طرائق متعددة تقليدية وعصرية، بدءاً بالعمل الحقلّي ورقع المقاطع الليتولوجية وسحب العينات انتقالاً إلى التحاليل المخبرية والمستحاثية والجيوكيميائية، ومن ثم تحليل المعطيات وربطها ودراسة تأثيرات العوامل الداخلة في موضوع البحث.

4-1 الوضع الجيولوجي والبنوي العام

تمثل السلسلة الساحلية الجزء الشمالي الغربي من سورية (Mouty (1976، الممتدة للزاوية الشمالية الغربية للصفحة الغربية (الشكل 2)، (Abdalla 2008, Bilal 2009). تتحدد من الشرق ببنية عالمية هي الفالق المشرقي الذي يمثل امتداداً للانهدامات الإفريقية عبر البحر الأحمر (Al-Husseini (2000. ويعتبره كل من (Quennel (1984، وتريفيلوف (1991)، كمجموعة من صدوع انزياحية يسارية تحصر بينها مناطق منخفضة. تقع الجبال الساحلية على الحافة الشمالية الغربية للركيزة العربية التي يحدّها من الغرب حوض البحر الأبيض المتوسط، ومن الشرق الفالق المشرقي (الامتداد لخليج العقبة - بحر الميت). وسلسلة الجبال اللبنانية من الجنوب (Chorowicz et al. 2005). تأخذ شكل نجد غير متناظر (نصف نجد) بحيث يرتفع الجزء الشرقي بنويًا وطبوغرافياً أكثر من الجزء الغربي (Blanckenhorn (1891. لذلك فإن الصخور الأحدث تتكشف مبتعدة باتجاه الغرب، بفعل تأثير المنطقة خلال الميزوزويك والسينوزويك بتطور السيتس، والركيزة العربية، ونشوء البحر الأبيض المتوسط (Ponikarov. (1966).



الشكل (2) خارطة جيولوجية تكتونية للمنطقة الساحلية (Abdalla, 2008)

تعود رسوبيات الميزوزوي والبالوجين المتوضعة في المنطقة إلى رصيف الستين. يدل على ذلك التغيرات السطحية العمودية للتوضعات الشاطئية، العتبة القارية والمنحدر القاري. يلاحظ وجود عدم توافق في بعض أجزاء العمود الطبقي، بينما تكون التبدلات السطحية الجانبية أقل وضوحاً (Dubertret, 1963). لقد اقتصررت الحركات البنيوية التي حدثت منذ الميزوزويك وحتى الآن على الحركات الإقليمية لنشوء القارات (الارتفاع والانخفاض الزمني) والفوالق. كما حدثت النشاطات البركانية البازلتية في عصر النيوجين، (Bulter, et al (1998). Bilal, (2001). إضافة إلى اندفاعات تحت بحرية خلال السينومانيان الأسفل (1966). Ponikarov (الشكل 2).

اعتبر Ponikarov (1963). المنطقة بأنها سلسلة ساحلية قوسية يحدها الفالق السوري اللبناني والكتلة الشمالية الغربية السورية من الشرق، رأس البسيط ونهر الكبير الشمالي من الشمال، والبحر الأبيض المتوسط من الغرب. لعبت الحركات الأورجينية الألبية الدور الأساسي في نهوض السلسلة الساحلية (Abdalla 2008). وتشكيلها لمططي متكامل امتد من فتحة شين جنوباً حتى فالق اللانقية كاس شمالاً، وقطعت بشكل لاحق بفالق الغاب لتشكل طي وحيد الميل (Ponikarov 1966).

تشير الدراسات السابقة ((Blanckenhorn (1891), Dubertret (1963), Ponikarov (1966) , منكرة صافينا(1980)). والدراسات الجيولوجية التي نفذناها إلى تحكم عمليات الحث الكارستية بمعظم الأشكال المورفولوجية لجبال السلسلة الساحلية بالمظهر الحالي، حيث تفصل الوديان المتعمقة كارستياً بين القمم الحديثة (يوسف، 2008). تتكشف الأعمار الجيولوجية بدءاً من الجوراسي أسفل - أوسط وحتى السينومانيان الأسفل مع توضعات البليوسين البازلتية والمصاطب الرباعية في الأودية. كما لعب التكتونيك المحلي دوراً هاماً في تكشف طبقات كربونانية تعود لأعمار جيولوجية أقدم، ابتداءً من محور الطي الممتد شمال - جنوب، الميل العام للطبقات هو باتجاه الغرب يتطابق مع الانحدار الطبوغرافي لحد كبير (Dubertret 1963). إن الهاطل المطري الغزير بالإضافة للمناخ الرطب والبيولوجيا الملانعة في المنطقة الساحلية بعد نهوض المنطقة وتشكل الطي، لعبت هذه الظروف الدور الرئيسي في تهيئة المنطقة لبدء العمليات الكارستية وتشكيل إقليم كارستي فيما بعد.

2-4 دراسة حقلية

نفذت جولات حقلية عديدة تم من خلالها التعرف على المعالم الجيولوجية للمنطقة، وتحديد نقاط ملاحظة لدراستها بشكل مفصل: من اللوحي الجيولوجية، والمظاهر الكارستية من حيث المنشأ والتطور، وعلاقتها مع العوامل المؤثرة فيها، إضافة لرفع مقطع جيولوجي حددت عليه بدقة العمليات والمظاهر الكارستية، وتأثيراتها في جيولوجية الطبقة.

كما ذكر فإن أقدم التشكيلات تعود إلى الجوراسي الأوسط وحتى السينومانيان الأسفل، إضافة إلى وجود بعض التوضعات الرباعية من لحقيات نهريّة وكعاب جبال وغيرها (مذكرة صافينا 1980)، مما جعل هذا المقطع ممثلاً لمعظم الأعمار الجيولوجية في منطقة الدراسة، وبالتالي كشف معظم المظاهر الكارستية (الشكل 3 - B).

يتكشف الجوراسي الأوسط في الأودية المتعمقة ذات الاتجاه شرق غرب، والتي تشكل الجدر السفلية لهذه الأودية (مذكرة القنومس، 1980)، وهي نواة للتشكيلات الرسوبية المتكشفة في المنطقة، والمكونة من الحجر الكلسي والحجر الكلسي الدولوميتي والدلوميت، بسماكة إجمالية تبلغ (54م). يليه باتجاه الخارج (الأحدث) الجوراسي الأعلى الذي يمتد بشكل شرائط

تغلف الجوراسي الأوسط وهو ذو سماكة قليلة نسبياً (42م)، وهو مكون ليتولوجياً من حجر كلسي منطبق، وخفي التطبق، وشرائط من المارل.

يبدأ الكريناسي بالأسبان الذي يتوضع (تشكيلة باب جنة) فوق الجوراسي الأعلى بعدم توافق حتى لوجود ثغرة ستراتغرافية بسبب عدم وجود معظم طابق النيوكوميان في هذه المنطقة، وهو يمتد بشكل شريط حول الجوراسي الأعلى وسماكته لا تتجاوز (36م) ومكون ليتولوجياً من غضار مدلمت ذو لون أخضر وأحياناً أصفر وحجر كلسي مدلمت.

يليه الألبان (تشكيلة البلاطة) بسماكة تصل حتى (155م) ويتكثف في منطقة الدراسة بشكل واسع، ليتولوجياً مكون من حجر كلسي ودلوميت وحجر كلسي دلوميتي وعقد صوانية، وما يتميز به الألبان وجود اندفاعات بارزلية لتوضع على شكل سويات بيئية شريطية، والجزء الكبير منها فاسد ومتحول إلى بيروكلاست لتشكل سوية كثيفة تمنع رشح المياه ضمن الألبان.

أما السينومانيان الأسفل (تشكيلة صلفنة) الذي يعلو الألبان بسماكة تصل حتى (110م) ويتواجد في المناطق ذات التضاريس العالية. تتكون ليتولوجياً من قسمين علوي وسفلي، العلوي مكون من تناوب حجر كلسي سميك التطبق وحجر كلسي عضاري والقسم السفلي مكون من غضار كلسي وغضار مدلمت بالإضافة إلى شرائط وعقدات صوانية وجبود أراعونيتية.

يتواجد في منطقة الدراسة اندفاعات بركانية تعود لليوجين (البليوسين) على شكل صبات بارزلية ورمل وسيلت وكونغلوميرا، بشكل عام تتحول الأجزاء الخارجية من هذه الصبات إلى بيروكلاست ناري المنشأ، أما التوضعات الرباعية فتتواجد في الأودية النهرية والسيلية على شكل رسوبات لحيوية وهي مكونة من حجارة وحصى ورمال مينة التصنيف ومتنوعة منها الرسوبي والاندفاعي (Mouty (1977), Dubertret (1941-1943), التحريات الهيدروولوجية (1979). مذكرة صافيتا (1980).

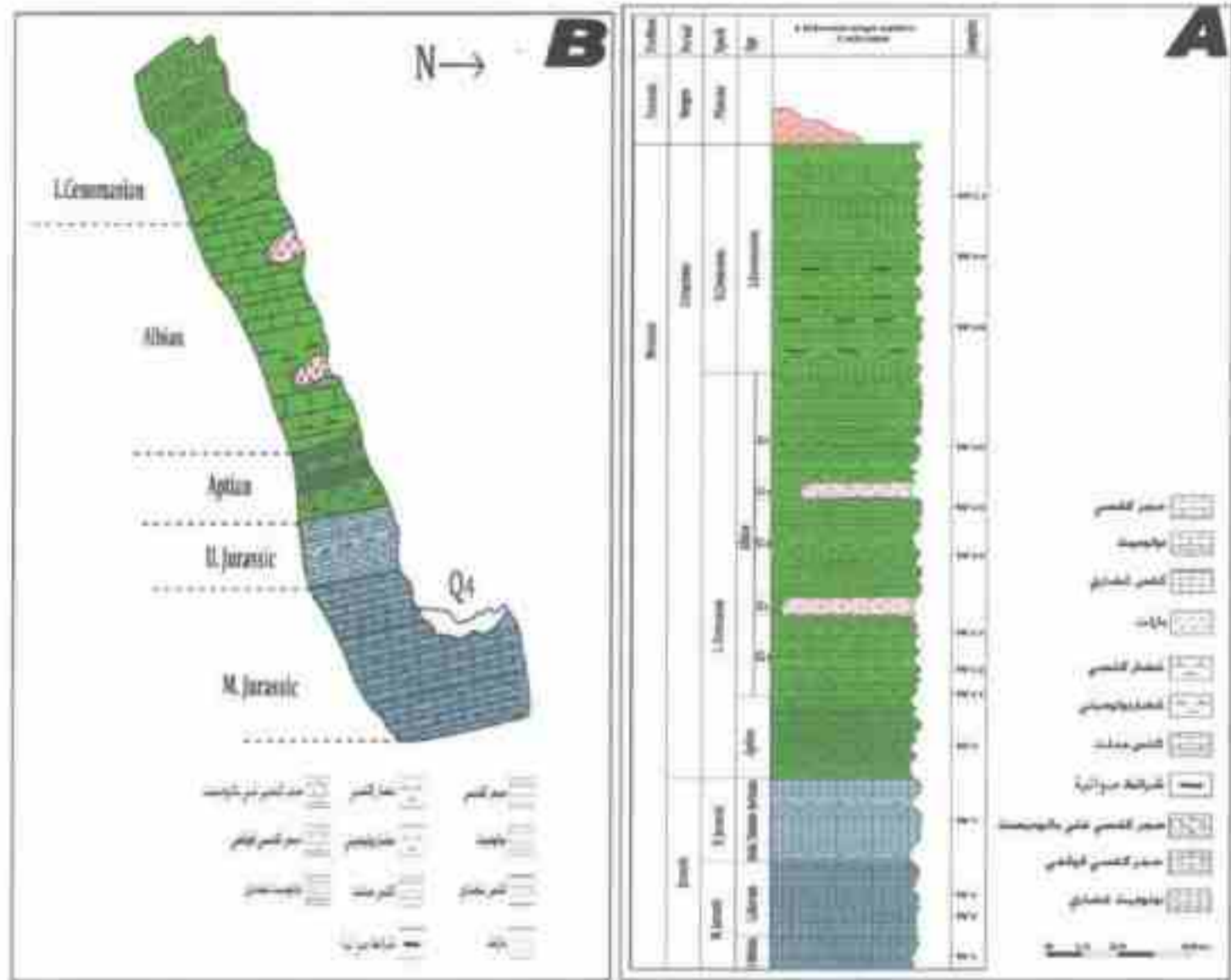
سمحت لنا الدراسة الحقلية جمع العينات المستحاثية والبتروغرافية والكيميائية للدراسة المخبرية. بحيث غطت كافة الطوابق والتشكيلات من الأعمار المختلفة، وكذلك الأنواع البتروغرافية المختلفة.

3-4 الليتوستراتغرافيا

سنلقي الضوء على مكونات العمود الطبقي للمنطقة من أقدمه حتى التوضعات الحديثة، من خلال مقاطع مدروسة في الحقل (الشكل 3- A)، ومحددة مكوناتها مخبرياً بتحديد العمر والتركيب.

1-3-4 الجوراسي

يتكون الجوراسي في المنطقة من الجوراسي الأوسط والأعلى، بينما لا يتكثف الجوراسي الأسفل. تم تقسيم دور الجوراسي إلى طوابق وتحت طوابق بالاعتماد على الليتولوجيا والتقسيمات الباليينولوجية للجوراسي في المنطقة الساحلية من قبل (Dubertret. (1937), Kuznetsova et al. (1976), Mouty. (1996).



الشكل (3) العمود الطبوغرافي العام لمنطقة وادي العيون (A) و مقطع جيولوجي فيه (B)

1-1-3-4 الجوراسي الأوسط

يبدأ المقطع بطابق الباتونيان الأعلى بسماكة (17م)، وهو مكون من كلس قاسي أبيض أفانيني ذو لون كريمي، توجد فيه ثوم طولية باتجاه الأسفل ناتجة عن فعل المياه السطحية. يليه باتجاه الأعلى تتلوهب عضار كلسي وكلس عقدي منلمت قليلاً. المظاهر الكارستية غير موجودة لأن الليتولوجيا غير مناسبة. حجر كلسي ناعم ميلور، منلم ومحرز وتبدو آثار الانحلال فيه على السطح الخارجي بشكل واضح. إن التحليل الكيميائي للعينة الصخرية (W - C - I). أكد بأنها حجر كلسي (الجنول 1). تظهر بعض الدولينات والحفر المملوءة في معظمها بالتراب الحمراء والحصى (Cvijic, 1901). في نهاية التشكيلة تظهر طبقات من كلس ميلور قليلاً ذو لون كريمي يحوي صفحات غلاصم وعقد صوتية، تأخذ أحياناً أشكال عمودية نقل فيه نسبة الصوان نحو الأعلى. تبدو آثار الانحلال واضحة على السطح مع تفاوت واضح في نسب هذا الانحلال، لتفاوت شروط الكرسنة الأساسية على الصخر، ويلاحظ وجود دولينات ضيقة ومنطولة مملوءة في الغالب بالتراب الحمراء والحصى.

يتوضع طابق الكالوفيان فوق الباتونيان بسماكة (37م) وهو ممثل بشكل كامل في الجبال الساحلية Kuznetsova, et al (1996). يبدأ بكلس ذو لون كريمي يحوي مستحاثات، ميلور في القسم الأوسط، يحوي عروق من الأراغونيت. العمليات الكارستية نشطة والكتل الكلسية بارزة على شكل جدر ومجزأة بشكل شاقولي، يتحول بعضها فيما بعد إلى حقول من اللابيز. يتغير في الاتجاه الأفقي إلى كتل منلمت على شكل صخور بارزة وناشرة (لابيز) منلمة وحاربة على حفر

وتجاوب، إن التحليل الكيميائي للعبدة الصخرية (W - C - 2). أكد بأنها حجر كلسي مندمت قليلاً (الجدول 1). يليه باتجاه الأعلى صخر كلسي قاسي يحوي بلورات من الأراجونيت كبيرة الحجم نسبياً، وتظهر آثار الانحلال بشكل واضح على السطح، تم سحب عينة للدراسة البترولوجرافية (W - P - 3). ثم يعود التقابع الكلسي المندمت جزئياً يحوي بقايا هيكل معدنيات أرجل وأسنيات، تبدو معظم الأجزاء الصخرية باهرة ومقاومة لعمليات الحت الميكانيكي، هذا ما يؤدي إلى ظهور أشكال التكيفات ذات الحجم المتوسط والصغيرة، سحبت عينة من الحجر الكلسي المندمت للتحليل الكيميائي (W - C - 4). تتغير الليتولوجيا إلى غصائر كلسي يحوي عقد أراجونيتية واضحة يضم بشكل بيني طبقات رقيقة من الحجر الكلسي، يدل وجود هذه العقد على توافر محاليل مائية غنية بكرينات الكالسيوم تمر من خلال الطبقة وتقوم بتغذية العقد، تم سحب عينة للدراسة المستحاثية (W - S - 5). ينهي الكالوفيان وبالتالي الجوراسي الأوسط بحجر كلسي قاسي ذو لون كريمي، على شكل جدر صخرية بارزة، تظهر على سطوحها الخارجية التلوم والحفر والدولينات الشاقولية الضيقة.

2-1-3-4 الجوراسي الأعلى:

يتكشف الجوراسي الأعلى بطابق الأكسفورديان بسماكة من (54 - 68) م. والمكون من غصائر كلسي رمادي مصفر يحوي قليلاً من العقد الأراجونيتية، سحبت عينة للدراسة المستحاثية (W - S - 6). يليه جدار كلسي كثلي أبيض مكسر يظهر بشكل مصفر يحوي أشواك شوحيات جلد، مجزأ بشكل شاقولي، توجد ضمن بعض الحفر السطحية بلورات نامية من الأراجونيت تنمو باتجاه الداخل. يعتبر طابق الكامبردجيان مفقود، وخاصة في الجزء الجنوبي من الجبال الساحلية بحسب (Kuznetsova, et al 1996). يعلو الأكسفورديان طابق التيتونيان - بيريزيان بسماكة (68 - 95) م. وهو عبارة عن تشكيلة مكونة من طابق التيتونيان العائد للجوراسي الأعلى وطابق البيريزيان العائد لطابق النيوكوميان، يوجد هذا الطابق بشكل غير كامل في أجزائه العليا نتيجة الحت أثناء الطفو في النيوكوميان بعد طابق البيريزيان (Kuznetsova, et al 1996). مكون ليولوجياً من كلس قاسي مطور أحياناً يحوي عروق أراجونيتية مع بعض العقد الصولية وبقايا أسنيات، جدر صخرية ضخمة، لعبت الأودية المتعمقة دوراً مهماً في جعل حواف الجدر شاقولية باتجاه الوادي وحفر المجاري المائية ضمن الصخر (الشكل 4).



الشكل (4) مقطع الجوراسي الأعلى على شكل جدر الكلسية والعقد مع الأسيان

تم سحب عينة من الحجر الكلسي لقاسي للتحليل الكيميائي (W - C - 7). يليه غضار كلسي أصفر اللون يحوي غداً أراغونيتية صغيرة الحجم. في القسم الأعلى من التشكيلة يوجد كلس قاسي على شكل جدر، تظهر الحفر والتحزرات والتلوم والدولينات الشاقولية التي قد تكون مملوءة بالتراب الحمراء والحصى الناتجة عن تضافر العمليات الكارستية مع الليتولوجيا (Retallack, 1997) ، يلاحظ وجود بعض التكهفات صغيرة الحجم خلال الطبقة.

4-3-2 الكريستاليني

تتكشف صخور الكريستاليني بشكل واسع في منطقة الدراسة، وهي عبارة عن صخور كربوناتية يتخللها اندفاعات بركانية في الألبان والسيلومانيان.

توضع طبقات الألبان فوق طبقات الجوراسي الأعلى بعدم توافق لوجود ثغرة ستراغرافية، يغياب توصلات النيوكوميان في معظم مقاطع الساحلية بشكل كامل، وأحياناً بشكل جزئي، نتيجة حدوث فترات طفو في معظم المناطق وحدثت حت لرسوبات بعضها الآخر.

(Dubertret . 1941 - 1943) (Ponikarov et al 1967). أما الألبان تبلغ سماكته الإجمالية (95 - 136) م. تخلو طبقاته من معظم المظاهر الكارستية، إلا بعض الطبقات القاسية الكلسية الملمنة تظهر القليل من الحزوز والتلوم القليلة. يتكون من حجر غضاري منلمت أخضر رمادي وبني رمادي. يتناوب حجر كلسي دولوميتي رملي غلوكونيتي يحوي نيريليا وأوستريا. يليه غضار بني رمادي دولوميتي، سحبت عينة للدراسات المستحاثية (W - S - 8). في القسم الأعلى يتناوب حجر كلسي رمادي بيوكلاستي مع حجر كلسي منلمت قليلاً ألباني، سحبت عينة من الحجر الكلسي المنلمت للتحليل الكيميائي (W - C - 9). وغضار كلسي منلمت أخضر رمادي. تتوج هذه التشكيلة بحجر كلسي منلمت قاسي جداً، سحبت عينة للدراسات البترولوجرافية (W - P - 10).

أما طابق الألبان ذو السماكة الإجمالية الأكبر والبالغة (136 - 294) م. تم تقسيم طابق الألبان إلى مجموعات رسوبية من الأقدم إلى الأحدث، بالاعتماد على الليتولوجيا والخصائص الكارستية للصخور في المنطقة.

المجموعة الأولى: بسماكة حقيقية (136 - 176) م، مكون من دولوميت على شكل جدر بارزة، تبدو فواصل الطبقات مجوفة ومملوءة بالتراب الحمراء والصخور الطرية، يلاحظ انتشار لعدد من الينابيع المائية الموسمية والدائمة، سحبت عينة دولوميتية للتحليل الكيميائي (W - C - 11). تعلوها سماكات قليلة من الغضار الدولوميتي الأخضر، الخالي من المظاهر الكارستية. ثم حجر دولوميتي قاسي ومنطبق، يحوي على الحديد من التكهفات ضمن الجدر الصخرية (الشكل 5-A).

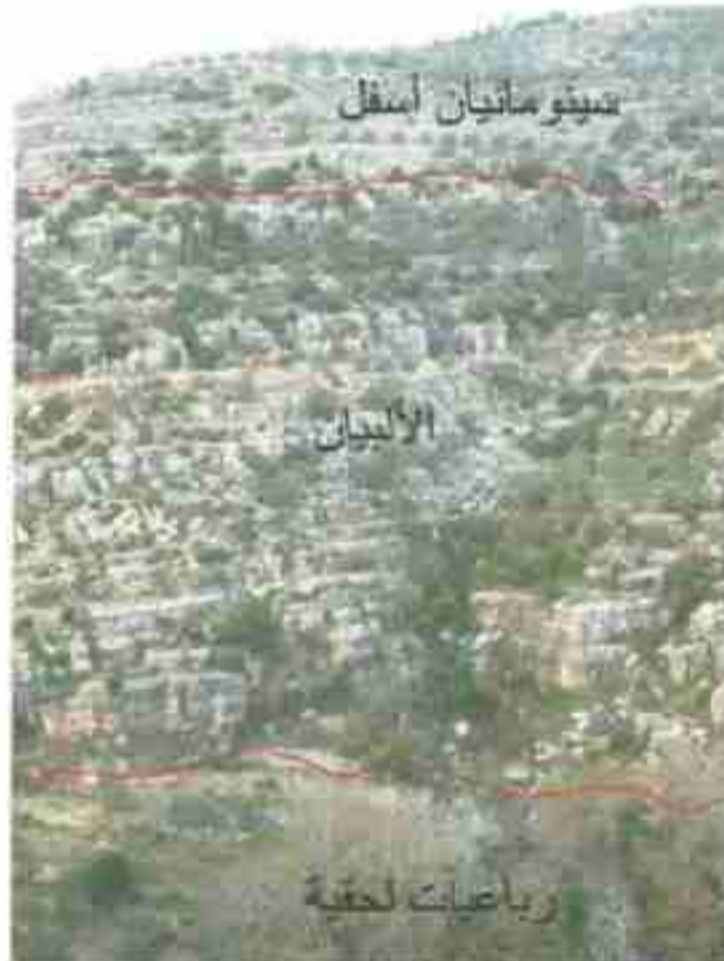


الشكل (5) مقطع جيولوجي بين الألبان وأسفل الألبان (A) وتوضعات البازلت ضمن طبقات الألبان الكربوناتها (B)

يتناوب بعد ذلك مع الغضار المتلمت و كلس دولوميتي قاسي، على شكل حنر بارزة معرضة بشكل جيد لعوامل الحت والحل، وتوجد كميات قليلة من الترب الحمراء، سحبت عينة للتحليل الكيميائي (W - C - 12)، ويتواجد بعض الحفر على سطح الصخر مملوءة ببلورات الأراغونيت. ثم غضار كلسي متلمت، سحبت عينة صخرية للتحليل الكيميائي (W - C - 13)، تنتهي هذه المجموعة بحجر كلسي متلمت بارز متلم ومخرش وحاوي على تكهفات شاقولية معظمها مليء بالترب الحمراء والحصى. المجموعة الثانية: بازلت أوليفيني فاسد يحوي على بعض الأجزاء الطازجة، تلعب التوضعات البازلتية دوراً هاماً في العمليات الكارستية كطبقة كثيفة، وتشكل في الأجزاء التي تعلوها نطاق ينابيع (الشكل 5 - B).

المجموعة الثالثة: حجر كلسي متلمت قاسي. مخرش ومتلم وحاوي على تكهفات في الأجزاء الطرية، يوجد بشكل واضح آثار حت وحل المياه الجارية، هذه الطبقات التي تعلو توضعات البازلت هي نطاق جيد للينابيع الموسمية والدائمة ذات التصريف الجيد، والتي يعتمد عليها لغاية الشرب والسقاية في المنطقة. تتناوب مع غضار متلمت، يليها نحو الأعلى حجر كلسي متلمت قليلاً، يلاحظ الانتشار الكثيف لحقول اللايبيز والترب الحمراء المتوضعة بشكل بيني ضمن صخور اللايبيز، سحبت عينة صخرية للتحليل الكيميائي (W - C - 14). ثم دولوميت كثلي بارز معرض بشكل بسيط للعمليات الكارستية ذات الانتشار الضعيف في المنطقة، سحبت عينة دولوميتية للتحليل الكيميائي (W - C - 15). المجموعة الرابعة: طف بازلتى هورنبلاندي فاسد في معظمه.

المجموعة الخامسة: غضار متلمت أبيض مصفر قليلاً، يتناوب مع دولوميت قاسي مشقق تنتشر فيه المظاهر الكارستية بشكل معتدل ويحوي العديد من الينابيع المائية الموسمية في معظمها، تنخفض نسب الذلمتة ليتحول إلى كلس متلمت قاسي متطبق، يحوي على تكهفات شاقولية ودولينات مملوءة بالترب الحمراء، تتحول هذه الطبقة جانبياً إلى حقول من اللايبيز، (الشكل 6).



الشكل (6) مقطع جيولوجي للصخور الكربوناتية في الألبان والتسيفو مانتيان الأسفل

سحبت عينة صخرية من حقول اللايبيز للتحليل الكيميائي (W - C - 16)، يليه باتجاه الأعلى تناوب من حجر كلسي قاسي

وحجر كلسي مثلمت، حاوية على مظاهر التخرزات والتلوم بالإضافة لانتشار التكهفات الشقوقية والدولينات والحفر بشكل متفاوت بين السحن المختلفة، يليه حجر كلسي قاسي متماسك، وحجر كلسي عضوي، السطح الخارجي محفر ومثلم، يظهر بشكل واضح التأثير الشديد للعمليات الكارستية على الصخر الكلسي. مع تزايد نسبة العضاريات يتغير إلى كلس عضاري مثلمت طري تتعدم فيه المظاهر الكارستية.

أما طابق السينومانيان فهو أحدث الأعمار المكتشفة، تتغير سماكته بسبب عمليات الحت، وتبلغ السماكة في المنطقة (212م)، يبدأ بحجر كلسي عضاري كثلي قليلاً مستحاثي، يحوي على أوستريا نقيفة تمثل قمة البلاطة، يوجد آثار واضحة للانحلال من تخرشات وحفر مختلفة الأحجام والأشكال. يليه غضار كلسي أبيض مصفر مثلمت، سحبت عينة للدراسات المستحاثية (W - S - 17)، يتقارب مع كلس عضاري منطبق أبيض، يحوي على جيودات صغيرة الحجم من الأراغونيت (الشكل 7 - A)، وتوجد عذسات رقيقة من الصوان، المظاهر الكارستية معتلة وغير بارزة.

يليه حجر كلسي بيومكريشي قاسي مثثق ومكسر ومعرض بشكل كبير للعمليات الكارستية، في الامتداد الجانبي يتحول إلى حقول مبعثرة من اللابيزر ضمن توضعات من الترب الحمراء. ثم جنر بارزة من الحجر الكلسي يحوي على أعداد قليلة من الروديست، معرض بشكل جيد لعمليات الانحلال والحت، ويلاحظ تواجد لعروق من الأراغونيت في أسفل الصخور حيث حركية المحاليل المائية ضعيفة، سحبت عينة للتحليل الكيميائي (W - C - 18). يليه حجر كلسي مع رفوف وشرائط من الصوان، يتقارب مع كلس عضاري مثلمت قليلاً منطبق مبعثر وكثله سائبة ضمن الترب الحمراء. تتزايد بالاتجاه للأعلى نسبة الغضار الكلسي مثلمت ذو اللون الأبيض المصفر ويحوي على جيودات صغيرة الحجم من الأراغونيت. ثم جدار كلسي مستحاثي يحوي على جيود وصوان، مجزأ ومكسرت بشدة، معظم أجزائه سائبة، ويتقارب مع كلس عضاري كثلي مثلمت قليلاً، سحبت عينة من الحجر الكلسي العضاري مثلمت (W - C - 19). يتغير إلى غضار مثلمت ذو لون أبيض مصفر، ثم حجر كلسي يظهر بشكل واضح آثار الانحلال وتشكل الحفر التي تشكلت فيها بلورات الأراغونيت، سحبت عينة صخرية للدراسات البترولوجرافية (W - P - 20). تصبح الطبقات طرية من غضار كلسي وكلس عضاري منطبق مع مستويات رقيقة من الصوان (الشكل 7 - B) مفككة ومنحلة وانتشار واسع للترب الحمراء الحاوية على الحصى بشكل كبير.



الشكل (7) جيود من الأراغونيت ضمن السينومانيان الأسفل (A) ورفوف وعذسات من الصوان ضمن طبقات من الكلس العضاري (B)

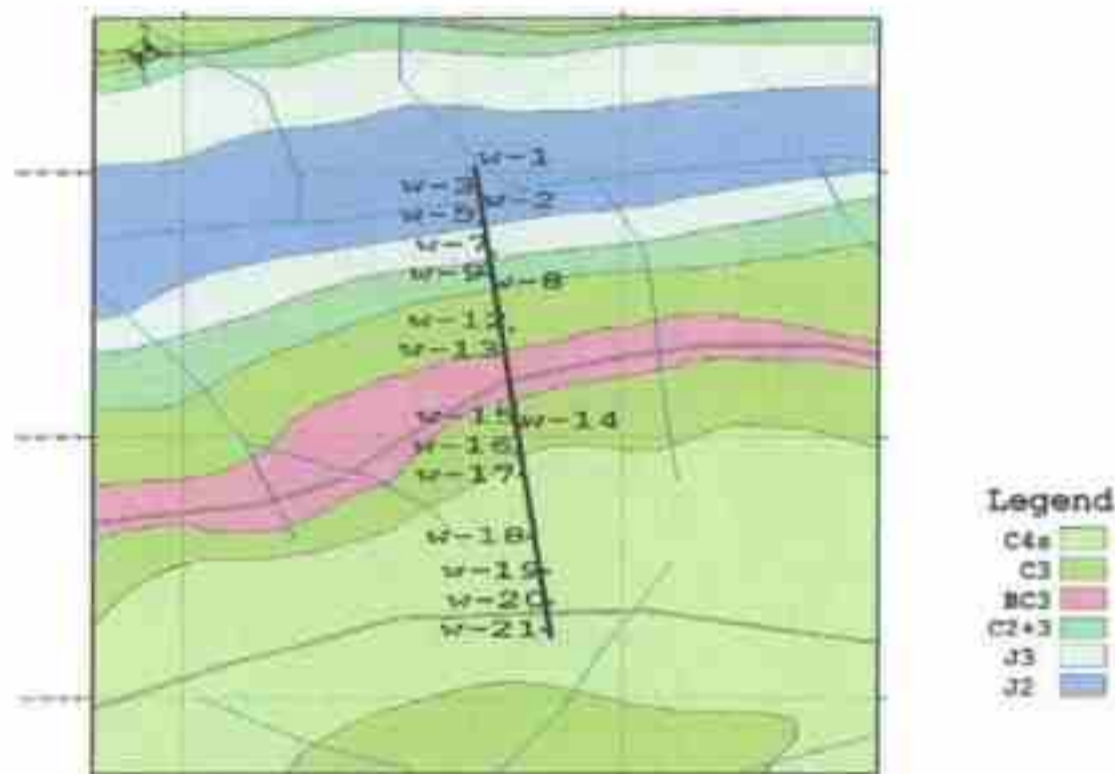
تصبح الطبقات أكثر قساوة ومكونة من حجر كلسي كتلي مدلمت قليلاً، على شكل جدر قليلة الارتفاع عن سطح الأرض ومعرضة بشكل جيد لعمليات الكرسنة، سحبت عينة صخرية للتحليل الكيميائي (W - C - 21). يتناوب بعدها الكلس الغضاري والغضار الكلسي مع بعض من السويات الصوانية. تنتهي توضعات السينومانيان الأسفل على شكل صخور لابييز من حجر كلسي، على شكل كتل مختلفة الأحجام متفرقة ومبعثرة ضمن توضعات الترب الحمراء.

3-3-4 النيوجين والرباعي

النيوجين في المنطقة هي عبارة عن توضعات بازلتية مغطية تعود لليوسين مختلفة السماكات، تتواجد غالباً على القمم الجبلية، خالية من أي نوع من المظاهر الكارستية، لكنها ذات تأثير إيجابي وسلبى على العمليات الكارستية في المنطقة. والرباعي عبارة عن لحقيات نهريّة وسيلية ذات تصنيف سيئ ولحقيات كعاب جبال، تلعب التوضعات الرباعية دوراً هاماً كطبقة ناقلة ونفوذ، تساهم في تغذية المياه الجوفية.

4-4 الدراسات المخبرية

للوقوف على الطبيعة البترولوجرافية لبعض التشكيلات المثيرة للجدل، وتحديد بعض الأصناف فقد أجريت دراسات مستحاثية وبترولوجرافية وجيوكيميائية. وحددت مواقع هذه العينات على الخريطة الجيولوجية (الشكل 8).



الشكل (8) خريطة جيولوجية لمنطقة الدراسة تبين مواقع العينات الصخرية

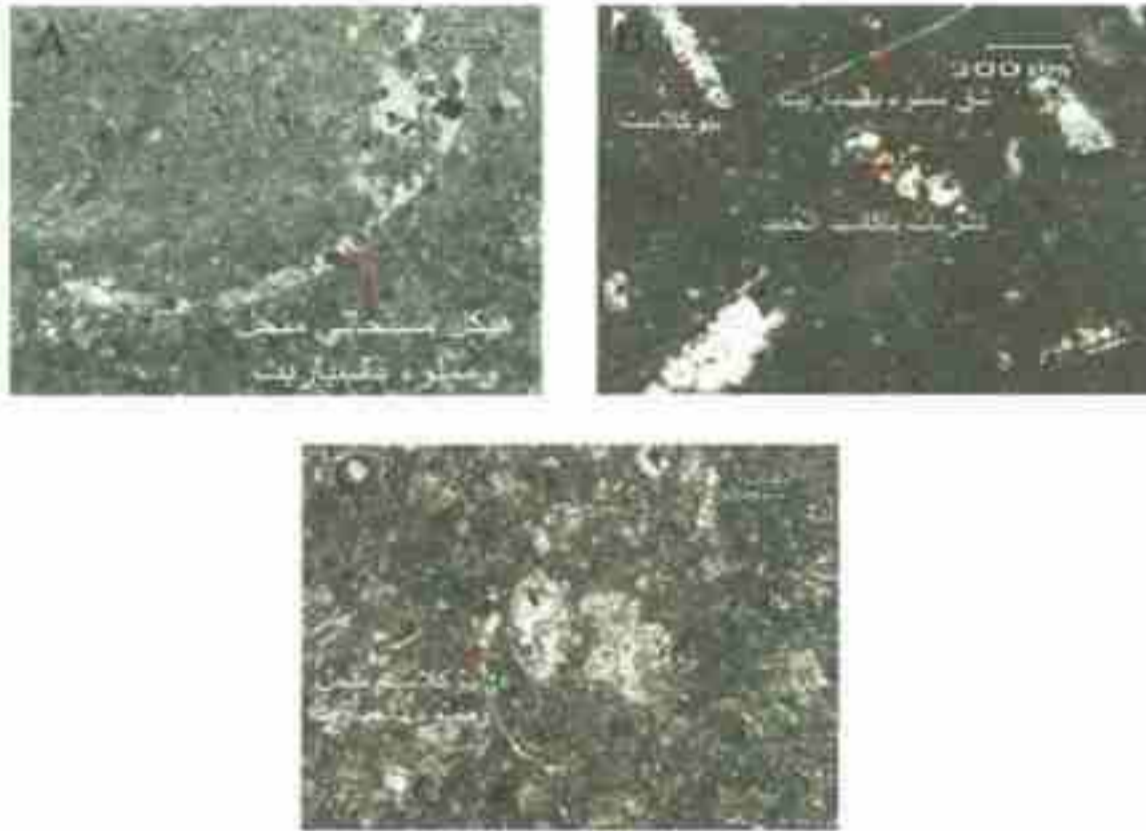
1-4-4 الدراسات البترولوجرافية

أجريت دراسة مجهرية لبعض العينات التي أثارَت شكوكاً في نوعيتها من خلال الوصف الليتولوجي (الشكل 9) للتأكد من طبيعتها.

العينة W - P - 3 : عينة صخرية كلسية، بينت الدراسة المجهرية أنها بيومكربونية مشربة بشكل ضعيف بأكاسيد الحديد مع سباسة جزئية في أجزاء متفرقة، كما تحوي على هياكل مستحاثية من الفوراميفيرا مع إبلاء سباريتي لهذه الهياكل، وبقياً من شوكتيات الجلد، لوحظ وجود بعض العروق المتشكلة لاحقاً المملوءة بالسباريت، يعتقد أنها قد ترميت ضمن بيئة بحرية ضحلة وطاقة وسط منخفضة، (الشكل 9 - B).

العينة W - P - 10 : صخر كلسي بيوميكريني مندمت بشكل جزئي، يحوي على بعض الفراغات الاحلالية بين الحبات وهياكل مستحاثية منحللة ومعاد تبلورها وإملؤها بالسباريت قد تكون من صفحات الغلاصم، وبيئة الترسيب بحرية ضحلة هادئة (الشكل 9 - A).

العينة W - P - 20 : عينة صخرية كلسية بيوميكرينية مشربة قليلاً بأكاسيد الحديد مع سيلسة جزئية في أجزاء متفرقة منها. كما تحوي على هياكل مستحاثية من الفوراميفيرا مملوءة بالسباريت في وسط هادئ ضحل، وقد لوحظ أيضاً أن هذا السباريت يملأ بعض العروق التي تخترق هذا الصخر، يعتقد أن هذه السحنة الكلسية قد ترسبت ضمن بيئة بحرية هادئة ضحلة (الشكل 9 - C).



الشكل (9) صور بتروغرافية مجهرية

صخر كلسي بيوميكريني مندمت (A)، صخر كلسي بيوميكريني مشرب بأكاسيد الحديد (B)، صخر كلسي بيوميكريني (C)

4-4-2 الدراسات المستحاثية

أجريت دراسة مستحاثية بقصد الوقوف على بعض الطوابق غير الواضحة من حيث تقسيماتها.

العينة W - S - 5 : عينة من المارل المتناوب مع طبقات كلسية وأحياناً دولوميتية تحوي المستحاثات التالية:

Kurnubia palastiniensis HENSON, *Nautiloculina circularis*, *Terebratules*.

العينة W - S - 6 : عينة من الكلس الغضاري تحوي المستحاثات التالية:

Kurnubia Palastiniensis HENSON, *Kurnubia jurassic* HENSON *Pseudocyclamina powarsi* REDSOND, *Haplophragmoides* sp.

العينة W - S - 8 : غضار مندمت يتناوب مع الدولوميت والكلس المندمت خالية من المستحاثات بسبب عملية الدلمة.

العينة W - S - 17 : غضار كلسي أبيض يتناوب مع الحجر الكلسي الغضاري:

Ovalveolina maccagnoii DE CASTRO, *Nezzazata simplex* OMARA, *Cuneolina pavonia* D'ORB, *Pseudedomia viallii* COLALONGO, *Miliolidae*, *Textulariidae*, Ostracodes, Lamellibranches, Echinodermes.

4-4-4 التحاليل الكيميائية

أجريت هذه التحاليل للوقوف على طبيعة بعض الصخور التي أثارَت في ترتيبها بسبب مظهرها والتحولات الكارستية التي أصابتها. يوضح (الجدول 1) نتائج هذه التحاليل التي أجريت على الصخور الرسوبية.

الجدول (1) التحاليل الكيميائية للمعادن الصخرية

TiO ₂	SiO ₂	Sn	P ₂ O ₅	Na ₂ O	Mn ₂ O ₃	MgO	K ₂ O	Fe ₂ O ₃	CaO	Al ₂ O ₃	L.O.I	أكاسيد المعادن
0.02	0.76	0.88	0.02	0.11	<0.02	1.58	0.01	0.18	52.93	0.52	43.3	W-C-1
0.03	1.05	1.25	0.03	0.06	<0.02	0.24	0.011	0.32	45.93	1.13	44.36	W-C-2
0.04	1.76	0.94	0.02	0.08	<0.02	7.25	0.01	0.18	44.42	0.86	45.14	W-C-4
0.03	0.92	0.82	0.02	0.08	<0.02	2.12	0.012	0.23	50.64	1.08	45.76	W-C-7
0.02	2.43	0.46	0.04	0.07	<0.02	12.42	0.01	0.25	40.66	0.64	43.24	W-C-8
0.03	1.14	0.86	0.02	0.06	<0.02	17.84	0.012	0.16	35.42	0.54	44.26	W-C-11
0.04	1.68	1.08	0.02	0.08	<0.02	10.72	0.01	1.32	40.18	0.78	45.44	W-C-12
0.03	2.78	1.12	0.03	0.12	<0.02	8.92	0.01	0.24	33.86	3.74	46.14	W-C-13
0.02	0.86	0.76	0.03	0.1	<0.02	12.75	0.012	0.28	39.46	0.8	44.86	W-C-14
0.03	0.68	0.32	0.02	0.07	<0.02	18.28	0.01	0.23	34.26	0.52	44.8	W-C-15
0.03	1.22	0.63	0.03	0.09	<0.02	12.66	0.008	0.21	38.94	0.42	45.64	W-C-16
0.04	0.96	0.52	0.04	0.1	<0.02	1.84	0.014	0.34	50.28	0.76	45.06	W-C-18
0.03	3.42	1.25	0.03	0.12	<0.02	9.48	0.01	0.78	35.58	1.92	46.28	W-C-19
0.03	1.56	1.08	0.03	0.1	<0.02	7.86	0.009	0.28	42.75	0.67	45.84	W-C-21

أظهرت الدراسات المخبرية النتائج التي ذهبنا إليها في بناء العمود الليتوستراتغرافي سواء من حيث التركيب أو من حيث العمر، كما هو موضح بالشكل (2)، فهذه التشكيلات تعود لعمر الجوراسي الأوسط حتى السينوميان الأسفل، وتركيبها يتدرج من الحجر الكلسي وحتى الكلسي المنتمت واللدوميت بالإضافة لوجود كميات قليلة من الغضاريات، وتأثير العمليات الكارستية على الصخور الكربوناتيّة تبعاً لنسب أكاسيد الكالسيوم والمغنيزيوم.

5- المناقشة والاستنتاجات

تسمح الدراسات المنفذة، الحقلية منها والمخبرية، بالوقوف على فهم المظاهر الكارستية وأثرها على البيدولوجيا والبيدوجيولوجيا، وكذلك فهم دور التكتونيك في تنشيط هذه العمليات.

1-5 المظاهر الكارستية

تنتشر في المنطقة مظاهر كارستية متنوعة: المغاور، الجدر الصخرية، الأودية المتعمقة، الدولينات، اللابيزز، وقد ساهمت العوامل الجيولوجية المختلفة في تنشيط العمليات الكارستية وتطورها في الاتجاهين الأفقي والشافولي. نلقي الضوء عليها:

- البيولوجيا: تلعب دوراً رئيسياً في مجمل العمليات الكارستية، بحيث تكون الصخور الكلسية في مقدمة الصخور المعرضة للكرستة، تليها الصخور الكلسية المدلمنة وتتناقص مع تزايد اللدوميت في الصخر، تتناقص شدة عمليات الكرستة بشكل كبير مع تزايد نسبة الغضاريات في الصخر الكربوناتي.

- الأودية المتعمقة: تساهم المياه السطحية الجارية في تشكيل الأودية المتعمقة التي تساهم في تكشف الطبقات الصخرية نتيجة حت وحل الصخور الأحدث باتجاه الأقدم، وبالتالي تعرضها لمدة زمنية أكبر للعمليات الكارستية (الشكل 10 - A).
- وتلعب النباتات دور بيوفيزياكيميائي في تسريع وتطوير العمليات الكارستية السطحية والقريبة من السطح، من خلال الفعل الميكانيكي للجذر والساق ومفرزات الجذور، وبغايا النباتات الكيميائية التي تساهم بشكل كبير في عمليات الحل (الشكل 10 - B).
- المناخ: يعتبر المناخ الدافئ والرطب من أفضل البيئات لتطور المظاهر الكارستية، تتعرض المنطقة الساحلية لهطول مطري من النوع الغزير يزيد عن (1000) مم \ السنة (الأرصاد الجوية 1963 - 2000)، الحرارة معتدلة شتاءً، وحرار رطب صيفاً.
- الطبوغرافيا: يلعب الانحدار الشديد دوراً في حركة المياه، وتوزع المظاهر الكارستية السطحية، يبلغ فرق الارتفاع بين الوادي (بداية المقطع) وقمة الجبل (نهاية المقطع) حوالي (550م)، الانحدار شديد يصل حتى (75) درجة تتحول عندها معظم حقول اللابيز إلى جدر صخرية شبه شقوقية، بشكل متدرج، وتدل الجدر المسترجة على مراحل تعمق الأودية (الشكل 10 - C)، ويتزايد الجريان السطحي على حساب الترشح والترسب إلى باطن الأرض، يغلب الحث الميكانيكي على حساب الحل الكيميائي.



الشكل (10) مظاهر كارستية: جدر صخرية تشير لنشاط العمليات الكارستية في تعمق الأودية (A)، تأثير جذور النباتات في مسغور الأودية (B)، جدر صخرية نتيجة عن تعمق الأودية الكارستية (C)، تبع (تكان) في أسفل الأودية (D)

هذه العوامل مجتمعة أدت إلى انتشار مظاهر كارستية متنوعة، يوضح أهمها (الشكل 10).

في ضوء ما تقدم أمكن الوقوف على أهمية الشبكات الكارستية: المشكلة نتيجة وجود تتابع طبقي من طبقات مكرسة وطبقات كتيمية غير مكرسة.

- شبكة كارستية مغلقة ضمن الجوراسي، لوجود طبقات من الغضار المدلمت التابع للأبسيان الكتيم، الذي يمنع رشح وتسرب المياه لطبقات الجوراسي، يتشكل الحامل المائي للجوراسي الغزير من خلال الهائل المطري فوق طبقات الجوراسي المكتشفة وتتحرك ضمنه لتلقي بسطح الأرض لتخرج على شكل ينابيع.
- شبكة كارستية مغلقة ضمن القسم السفلي من الألبان، بحدها من الأعلى للتوضعات البازلتية الفاسدة الكتيمية، ومن الأسفل طبقات الأسيان، تعتبر هذه الشبكة معتلة الغزارة بسبب قلة السماكة الإجمالية ومحدودية التكشف على السطح مع وجود تحدار طبوغرافي كبير.
- شبكة كارستية شبه مغلقة في القسم العلوي من الألبان، بحدها من الأعلى طبقات السينومانيان المكرسة، وبعض عنسات من المارل، ومن الأسفل التوضعات البازلتية الفاسدة، هذه الشبكة غنية بالمياه نتيجة رشح مياه السينومانيان إليها بالإضافة لمياه أعلى الألبان.
- شبكة كارستية مفتوحة في أسفل السينومانيان، في الأعلى غالباً ما تكون مكتشفة على السطح، وفي الأسفل متصلة هيدرونيكياً مع الألبان، تعتبر هذه الشبكة فقيرة بالمياه الجوفية.

5-2 أثر المظاهر الكارستية على الهيدرولوجيا والهيدروجيولوجيا

ساهمت الجيومورفولوجيا الكارستية في حركة المياه السطحية من جهة، وتدفق العديد من الينابيع في المنطقة. من المعلوم أن الهائل المطري في منطقة الدراسة يعتبر كبيراً، يصل كما ذكرنا سابقاً (1000) مم ١ سنة، وهذا الهائل بالإضافة إلى وجود المظاهر الكارستية بسبب غياب السدات والسدود والبحيرات الجبلية (Bilal and Ammar 2001, Bilal 2011). أما الينابيع فهي منتشرة في المنطقة بكثرة، بالاعتماد على توزع وأنواع الشبكات الكارستية. في الجوراسي تظهر الينابيع نتيجة التقاء القنوات والممرات المائية مع السطح الطبوغرافي للأرض دونما وجود أي نطاق واضح ضمن الجوراسي. أما الأبسيان فتخلو هذه الطبقات من وجود الينابيع، يظهر في الطبقات المكتشفة بعد الهائل المطري عمليات النتح. في الألبان يوجد نطقين للينابيع، الأول في الجزء الذي يعلو الأبسيان (الشكل 10 - D)، وهو متوسط الغزارة ويغلب وجود الينابيع الموسمية على حساب الينابيع الدائمة، والثاني يعلو التوضعات البازلتية الفاسدة ينتشر هذا النطاق على مجال واسع وينابيعه غزيرة ودائمة في معظمها ويعتمد عليها في الحصول على مياه الشرب والزراعة. وأخيراً السينومانيان الأسفل الذي يندر وجود الينابيع في طبقاته، إلا بعد حدوث الهائل المطري، يلاحظ انتشار لينابيع ذات غزارات ضعيفة تستمر لأوقات قليلة تعود لتسرب وترشح ضمن الصخور والترب الحمراء.

بالنسبة للهيدروجيولوجيا فإن المظاهر الكارستية الجوفية، تلعب دوراً هاماً في حركة المياه الجوفية، وبالتالي تشكل الحوامل والطبقات والتشكيلات المائية.

إن النظام الهيدروجيولوجي في المنطقة معقد (التحريات الهيدروجيولوجية 1979)، لانتشار المظاهر الكارستية الجوفية من تجايف وأقنية وسغاور، يندر وجود الحوامل المائية وخصوصاً في السينومانيان والألبان والأسيان بسبب النشاط الكارستي

الكبير فيها، أما بالنسبة للجوراسي فيعتبر حامل غني للمياه الجوفية في المنطقة بسبب عدم تعرض الأجزاء السفلية منه لعمليات كارستية شديدة.

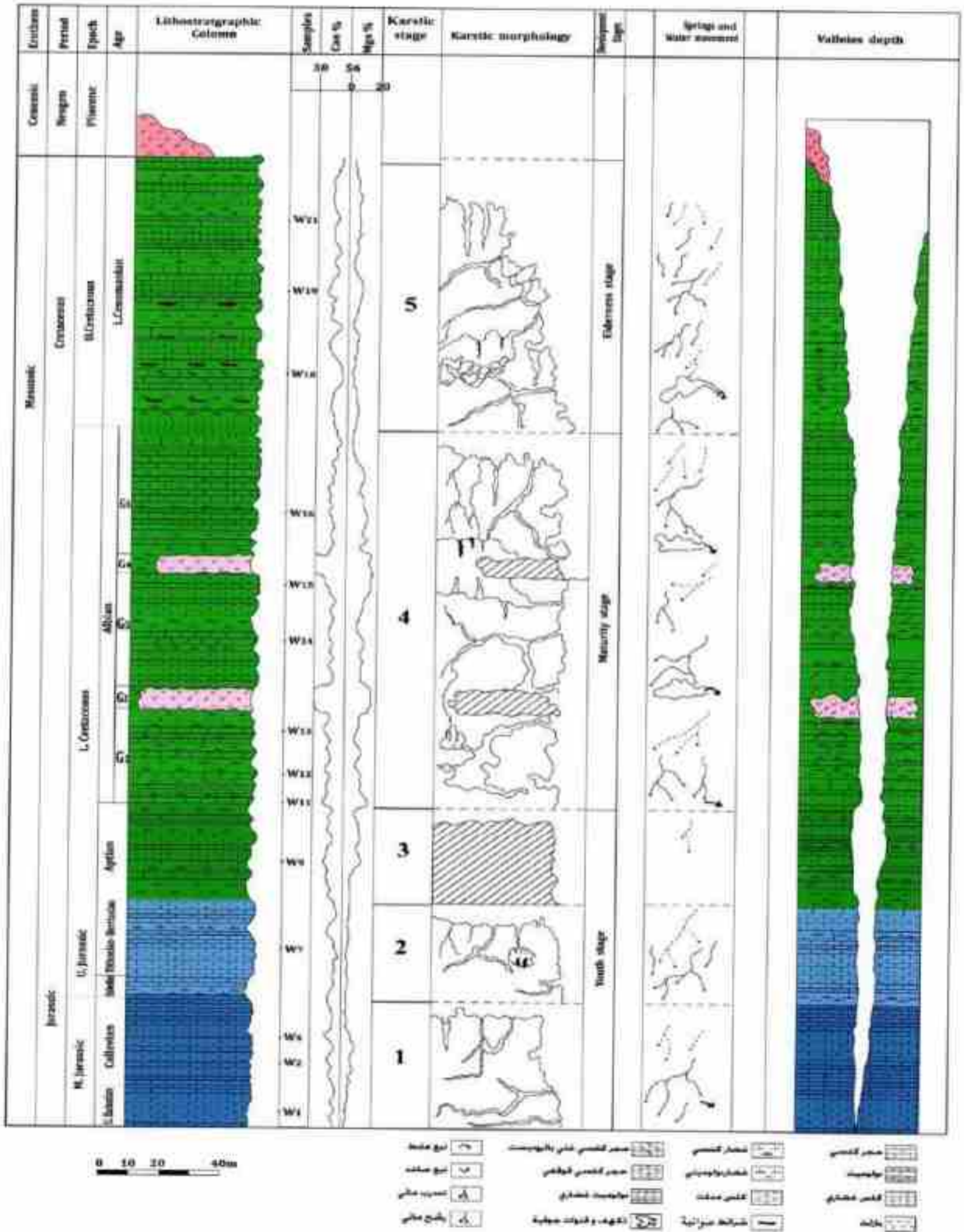
3-5 التكتونيك والكارست

ساهم التكتونيك منذ حدوث الطفو في تحديد اتجاه وحركية العمليات الكارستية، أدى وجود الطيات وبعض الفوالق الريشية إلى رسم الملامح الرئيسية للمورفولوجيا العامة للمنطقة الساحلية نتيجة العمليات الكارستية حتى الوقت الحالي. تسمح الدراسات السابقة في وضع موديل عام للمنطقة، يوضح مراحل بدء وتشكل العمليات والمظاهر الكارستية (Gvijic, 1921).

ففي مرحلة الشباب الكارستية يمكن تمييز ثلاثة مراحل زمنية هي:

1. المرحلة الأولى: ساهمت مياه الهائل المطري بشق مجاري سطحية على طبقات السينومانيان الكربوناتيّة المتكثفة على السطح، وذلك حسب الميل الطبوغرافي والفوالق باتجاه الغرب، في هذه المرحلة انتشرت المجاري السطحية والأنهار، ورسمت الملامح الأساسية لطبوغرافية المنطقة.
2. المرحلة الثانية: تشكلت بعض المظاهر الكارستية السطحية، نتيجة رشح كمية قليلة من مياه الهائل المطري والمياه الجارية إلى الطبقات الصخرية في الأسفل، عملت المياه الراشحة على حل أجزاء من الصخر الكربوناتي باتجاه الشاقولي، أما حركة المياه السطحية فقد عمقت المجاري التي تسلكها نتيجة حت وحل الصخور ونقل الأجزاء الصخرية من مكانها.
3. المرحلة الثالثة: استمرت المظاهر الكارستية في المراحل السابقة بالتطور، مع تزايد كميات المياه الراشحة على حساب المياه الجارية، تعمقت المظاهر الكارستية ضمن النطاق غير المشبع، وتشكلت القنوات الناقلة للمياه مع استمرار الحل الكيميائي بالاتجاهين الأفقي والشاقولي، في هذه المرحلة تجمعت المياه الراشحة في باطن الأرض نتيجة ثقافتها بسطوح كثيفة (اختلاف ليتوستراتغرافي) تتشكل مستويات مائية جوفية، يرتفع منسوب المياه مع تزايد تغذية المياه الراشحة من سطح الأرض.
4. مرحلة النضج: تتشكل نواة الشبكات الكارستية في الاتجاهين الأفقي والشاقولي، تتصل القنوات والمظاهر الجوفية مع بعضها البعض، يتشكل في الجزء الأعلى من المياه الجوفية انحلال في الصخور الكربوناتيّة تمثل نواة المغاور، تتحد المغاور الصغيرة مع ازدياد الانحلال لتشكل مغارة كبيرة (Ricci-Lucchi, F. 1995)، في هذه المرحلة تنشيط عمليات الحل وتندعم عمليات الحت والترسيب، تتغير ملامح الطبوغرافية السطحية نتيجة عمليات الحل والحت الشديدين من خلال انخفاض السطح وتعمق الأودية (Gvijic, 1921)، نقل كميات المياه الجارية في الأنهار والمسيلات عن المرحلة السابقة.
5. مرحلة الشيخوخة: ينخفض منسوب المياه الجوفية في الاتجاه الشاقولي نتيجة تطور الشبكات الكارستية، تصبح المغاور المتشكلة سابقاً ضمن النطاق غير المشبع، بتغير نظام العمليات الكارستية على المغارة، تعمل المياه الراشحة من الأعلى على تشكيل مظاهر الصواعد والتوازل، تغلب عمليات الترسيب على عمليات الحل والحت (Ricci-Lucchi, F. 1995)، وقد يشغل المغارة في الغالب أنهار جوفية في هذه المرحلة (Gvijic, 1921)، يلاحظ الانتشار الكبير للترب

الحمراء بين الصخور اللابيز التي تمتد بشكل واسع ضمن الأراضي ذات الطوبوغرافية المعتدلة، أما الطوبوغرافيا العامة للإقليم، تظهر في هذه المرحلة الفارق الطوبوغرافي الكبير بين القمم الجبلية والأودية المتعمقة.



الشكل (11) الرصد الآلي والشاقولي بين التيومتر الجرافيا والكارست ومرآجل تطورهما وحركة المياه

6- النتائج

- نتيجة الدراسات المنفذة أمكن الوقوف على العلاقة: ليتولوجيا، كارست، تكتونيك، هيدروجيولوجيا (شكل 12)، من خلال الشكل يمكن الوقوف على النتائج التي تم التوصل إليها:
- أمكن تتبع العمود الليتوستراتغرافي وتشكيلاته المختلفة في ضوء الدراسات الحقلية والمخبرية، وربط المظاهر الكارستية مع التشكيلات الصخرية، وتحديد التأثير المتبادل فيما بينها.
 - المظاهر الكارستية مع التكتونيك والعلاقة المتبادلة بينهما، إذ يسهل وجود التكتونيك نشوء وتطور العمليات الكارستية والعكس صحيح.
 - العلاقة بين المظاهر الكارستية وحركة المياه السطحية والجوفية، والاستفادة منها في تحديد مواقع واحتياطيات الموارد المائية، وتحديد مواقع لإنشاء سدات وسدود وبحيرات جبلية.
 - تحديد الشبكات الكارستية ضمن العمود الليتوستراتغرافي، ودورها الهام في حركة واتجاه المياه السطحية والجوفية، وتشكيل الحوامل والتشكيلات المائية ضمن الطبقات الصخرية.
 - فتحت هذه الدراسة الباب لدراسات تفصيلية أكثر، وعلى مستوى أكبر قد يعم البلاد بكاملها.

المراجع

العربية:

- التحريات والدراسات الهيدروجيولوجية والهيدروجيولوجية (1979) - حوض الساحل، خبراء سوفييت.
المؤسسة العامة للجيولوجيا والثروة المعدنية (1977) - الخريطة الجيولوجية لرقعة صافيتا مقياس (50000/1)-
الخريطة الجيولوجية لرقعة القدموس مقياس (50000/1).
المؤسسة العامة للجيولوجيا والثروة المعدنية (1980) - المذكرة الإيضاحية لرقعة صافيتا وطرطوس - المذكرة
الإيضاحية لرقعة القدموس وبياباس.
المتبرية العامة للأرصاء الجوية - تقرير الهاطل المطري (1963 - 2000)م، محطة صافيتا.
تريفينوف، ف. ج. ، ج. عجميان : نطاق الصدع المشرقي في شمال غرب سوريا ا جيوتكتونيك عام 1991 رقم 2
ص 63 - 75 (المرجع بالروسية).
جفجيك (Gvijic ,1921) مراحل في تطور الكارست.
دوبرتريه- لويس، دراسة جيولوجية الجزء الجنوبي من السلسلة الساحلية (1958).
طراف، ا، (2010) هيدروجيولوجية منطقة القرداحة دراسة تكتونية كارستية، أطروحة ماجستير في جامعة دمشق.
يوسف، ر، (2008)، دراسة الكارست وأهم منعكساته الاقتصادية والهيدروجيولوجية (المنطقة الساحلية- صافيتا)،
أطروحة ماجستير في جامعة دمشق.

الأجنبية

- Abdalla.A (2008)- Evolution Tectonique de la Plate-forme Arabe en Syrie depuis le
Mésozoïque.These, UPMC, Paris. 302p.
Al-Husseini M.I. (2000)- Origin of the Arabian plate structures-Amar Collision and Najd Rift:
GeoArabia, 5, pp.527-542.

- Bilal . A. Seismicity and volcanism in the rifted zone of western Syria. *C. R. Geosciences* 341 (2009)- pp 299 – 305.
- Bilal .A (2011)- caracteres du reseau hydrographique en Syrie – implications pour la gestion des ressources en eaux. *Journ. Sci. Hydro.*(Sous presse).
- Bilal .A, Touret .J.L, Les enclaves du volcanisme recent du rift Syrian. *Bull. Soc. Geol. Fr.* Tom 172, n 1, (2001)- 1 – 14.
- Bilal .A, and Ammar .O, (2001)- A proposed model for localization of the small dams using remote sensing applications. *International seminaire " les petits barrages dans le monde mediterraneen .Tunisie,28-31 Mai.*
- Blanckenhorn M. (1891)- *Grundzuge der geologie und physikalischen geographie von nordsyrien . Eine geologisch-geographische Skizze, Berlin.*
- Bonacci, O. (1987)- *Karst hydrology with special reference to the Dinaric karst. New York: Springer, 184 p.*
- Bulter, L.W, Soenser, S, Griffiths, H.M, The structural response to evolving plate kinematics during transpression evolution of the Lebanese restraining bend of the Dead Sea Transform. *Continental Transpressional and Transtensional Tectonics. Geological Tectonic Framework of a complex pulapart (1998).*
- Chorowicz, J. DHONT, D. Ammar, O. Rukieh, M. Bilal, A. Tectonics of the Pliocene Homs Basalts (Syria) and implications for the Dead Sea Gault Zone Activity of the geological Society, London, Vol 162, (2005)- pp 259- 271.
- Cvijic, J. (1893)- *Das Karstphanomen. Versuch einer morphologischen Monographie, Geographische Abhandlungen herausgegeben von A Pench, Bd., V.H, 3. Wien, pp. 218–329.*
- Cvijic, J. (1901)- *Morphologische und glaciale Studien aus Bosnien, der Hercegovina und Montenegro: die Karst-Poljen. Abhandlungen der Geographie Gesellschaft Wien, 3(2), 1–85.pp.*
- Cvijic, J. (1918)- *Hydrographie souterraine et evolution morphologique du karst. Hydrographie souterraine et evolution morphologique du karst, 6(4), 375–426.p p.*
- Cvijic, J. (1925)- *Types morphologiques des terrains calcaires.Comptes Rendus, Acade'mie des Sciences (Paris), 180, 592,757.*
- Dreybrodt, W. (1988)- *Processes in karst systems – physics, chemistry and geology. Heidelberg, New York: Springer, 288 p.*
- Dreybrodt, W. (1996)- *Principles of early development of karst conduits. Water Resources Research, 32, 2923–2935.pp.*
- Dubertret, L. (1937)- *Le massif Alaouite. Notes et Mémoires sur le Moyen-Orient, 2 , p.9-42.*
- Dubertret ,L. (1941 – 1943)- *carte geologique de la Syria et du Liban au 1:1000 000, 2 edn., Beyrouth, Liban.*
- Dubertret , L. (1963)- *Lexique Stratigraphique international. Vol. 3, Asie, Fascicule 10 cl, Liban, Syria, Jordanie, CNRS, 3 quai Anatole France,Paris.*
- Ford, D. C. & Williams, P. W. (1989)- *Karst geomorphology and hydrology. London: Chapman & Hall, 601 p.*
- Ford, D. C. & Williams, P. W. (2007)- *Karst hydrogeology and geomorphology. Wiley & Sons, 448 p.*
- Harmon, R. S. and C. M. Wicks (eds.), (2006)- *Perspectives on Karst Geomorphology, Hydrology, and Geochemistry – A Tribute Volume Derek C. Ford and William B. White: Geological Society of America Special Paper 404 p.*
- Jones, B. and R.W. MacDonald, (1989)- *Micro-organisms and crystal fabrics in cave pisoliths from Grand Cayman, British West Indies: J. Sediment. Petrol., 59, 387–396 pp.*
- Klimchouk, A. B., Ford, D. C., Palmer, A. N. & Dreybrodt, W. (Eds.) (2000)- *Speleogenesis, evolution of karst aquifers. Huntsville, Alabama, USA: National Speleological Society, Inc., 527 p.*

- Kuznetsova, K.I. ,& Grigelis,A.A & Adjamian.J &Jarmakani.E & Hallaq.L., (1996)- Zonal Stratigraphy and Foraminifera of the Tethyan Jurassic. pp, 89 – 99 . Gordon and Breach Publishers.
- Mouty.M (1976)- C.R. Somm. Seances (Soc. Geol. Fr.), Fasc.3, 104 – 105.
- Ponikarov, V.P. (1966)- The Geology of Syria. Explanatory Notes on the Geological Map of Syria, Scale 1:200,000. Ministry of Industry, Damascus, Syrian Arab Republic.
- Ponikarov, V.P. (1967)- The Geology of Syria. Explanatory Notes on the Geological Map of Syria. Scale 1:500 000 , Part 1 Stratigraphy, Igneous Rocks and Tectonics. Ministry of Geology, Russia.
- Quennell A. M. (1984)- The western Arabia rift system , in Dixon J. F , and Roberston A.H.F. , eds. , The geological evolution of the eastern Mediterranean : 1984 . Oxford , Blackwell scientific publications pp. 775 – 788
- Retallack, G. J., (1997)- A Colour Guide to Paleosols: John Wiley and Sons, Chichester.
- Ricci-Lucchi, F.,(1995)- Sedimentographica: A Photographic Atlas of Sedimentary Structures. 2nd edn.: Columbia University Press, New York.

Karstic litho-stratigraphic study in relation with water movement in Wadi Aloyon - Coastal area

R. Yousef; A. Bilal and M. Said

Department of Geology, Faculty of sciences, Damascus University, Syria

Abstract

Our study is based on the geological investigations, in the field as well as in the laboratory, in order to identify underground and surface karstic phenomena. The studied area is Wadi Aloyon, in the Syrian coast, which contains more karstic phenomena. The purpose is the correlation between the karstic phenomena and the litho-stratigraphic units. Through the geological survey and the geological studies a detailed typical litho-stratigraphic column, is established, in addition to identifying all the Karstic phenomena, and the factors that affect the forming of these Karstic phenomena, and the implications of these operations on the rock beds. This paper also helps in understanding the general hydrogeology and identifying the springs zone in the area. This type of work puts such studies in the exact scientific frame in a detailed and comprehensive way.

Key words: karstic phenomena, litho-stratigraphy, hydrogeology, Wadi Aloyon - Syria.